



KARL-FRANZENS-UNIVERSITÄT GRAZ  
INSTITUT FÜR PHYSIK

23S PHY.L02UB FORTGESCHRITTENPRAKTIKUM 2  
678 Bachelorstudium Physik, UG2002/2021W

## II. Interferometrie

Wachmann Elias      Zach Andreas  
12004232            12004790  
Gruppe 12

Betreut von  
Thomas Georg BONÉ, BSc MSc

10.03.2023

## Inhaltsverzeichnis

<b>1 Aufgabenstellung . . . . .</b>	<b>3</b>
<b>2 Grundlagen . . . . .</b>	<b>3</b>
2.1 Young'scher Doppelspalt . . . . .	3
2.2 Shearing-Interferometer / Wellenfront-Analyse . . . . .	4
2.3 Polarisation . . . . .	5
2.4 Michelson-Interferometer . . . . .	6
2.5 Unsicherheitsanalyse . . . . .	7
<b>3 Geräteliste . . . . .</b>	<b>8</b>
<b>4 Versuchsaufbau . . . . .</b>	<b>9</b>
4.1 Young'scher Doppelspalt . . . . .	9
4.2 Shearing-Interferometer . . . . .	10
4.3 Polarisation . . . . .	11
4.4 Michelson-Interferometer . . . . .	11
<b>5 Versuchsdurchführung . . . . .</b>	<b>12</b>
5.1 Young'scher Doppelspalt . . . . .	12
5.2 Shearing-Interferometer . . . . .	15
5.3 Polarisation . . . . .	16
5.4 Michelson-Interferometer . . . . .	18
<b>6 Auswertung . . . . .</b>	<b>21</b>
6.1 Young'scher Doppelspalt . . . . .	21
6.2 Shearing-Interferometer . . . . .	21
6.3 Polarisation . . . . .	21
6.4 Michelson-Interferometer . . . . .	21
<b>7 Diskussion . . . . .</b>	<b>21</b>
<b>8 Zusammenfassung . . . . .</b>	<b>21</b>

## 1 Aufgabenstellung [1]

Der folgende Laborversuch besteht aus vier separaten Teilversuchen, welche sich abermals wie folgt in Unterversuche gliedern:

- **Young'scher Doppelspalt**
  - Bestimmen des Beugungsmusters von vier Doppelspalten mit unterschiedlichen Spaltbreiten und Spaltabständen
  - Berechnung der Wellenlänge des Lasers
  - Erklärung der Beugungsmuster durch Vergleich mit errechneten Mustern
  - Bestimmung der Beugungsmuster eines Liniengitters und Vergleich mit errechneten Werten
  - Bestimmung der Gitterkonstante
- **Wellenfront-Analyse / Shearing Interferometer**
- **Polarisation**
  - Verifizieren des Gesetzes von Malus
  - Untersuchen des Einflusses des Durchlasswinkels eines weiteren Polarisators zwischen zwei gekreuzten Polarisatoren
- **Michelson Interferometer**
  - Justieren und generieren von konzentrischen Interferenzmustern
  - Bestimmung der Wellenlänge des Lasers durch Weglängenänderung
  - Untersuchung des absoluten Weglängenunterschieds in den beiden Interferometerarmen sowie Auflösung und Stabilität des Interferometers
  - Untersuchung der Rolle der Polarisation auf die Interfenzfähigkeit des Laserlichts

## 2 Grundlagen [1]

### 2.1 Young'scher Doppelspalt

Bescheint man mit einer Lichtquelle zwei eng beieinanderliegende Spalte mit dem Abstand  $d$  und projiziert das Bild auf einen ansonsten undurchsichtigen Schirm, so wirkt der Spalt als kohärente Lichtquelle (Anmerkung: Dies ist evident für eine kohärente Lichtquelle, gilt für eine thermische Lichtquelle aber nur unter bestimmten Bedingungen, jenen der räumlichen Kohärenz). Die Wellen aus den Spalten überlagern sich in Abhängigkeit vom Beobachtungswinkel konstruktiv oder destruktiv, was auf einen Schirm projiziert eine Abfolge an Intensitätsmaxima und -minima ergibt. Unter der Bedingung, dass der Abstand

zwischen Doppelspalt und Beobachtungsebene viel größer als der Spaltabstand  $d$  ist, ergibt sich der optische Gangunterschied in die durch den Winkel  $\phi$  definierte Richtung als

$$\Delta = \frac{2\pi d}{\lambda} \sin(\phi) \quad (1)$$

mit  $\lambda$  der Wellenlänge. Mit der Näherung  $\sin(\phi) \approx x/z$  (erfüllt für große Abstände  $z$  zwischen Doppelspalt und Schirm) ergibt sich ein Streifenmuster mit der Periode  $x$  der Form

$$I_{\text{Interferenz}}(x) = I_0 \left( 1 + \cos\left(\frac{2\pi x d}{\lambda z}\right) \right) \quad (2)$$

Dafür wurde die endliche Breite des Spalts vernachlässigt bzw. ein unendlich schmaler Spalt angenommen. Tatsächlich überlagert sich dem Interferenzmuster das Beugungsmuster des Einzelspalts, das i.A. symmetrisch mit zu größeren Winkeln hin abnehmender Intensität ist. Ein einzelner rechteckiger Spalt der Breite  $D$  führt zu einem Beugungsmuster der Form

$$I_{\text{Beugung}}(x) = I_0 \cdot \frac{\sin^2\left(\frac{\pi D x}{\lambda z}\right)}{\left(\frac{\pi D x}{\lambda z}\right)^2} \quad (3)$$

Das Beugungsmuster des Doppelspalts ergibt sich multiplikativ als

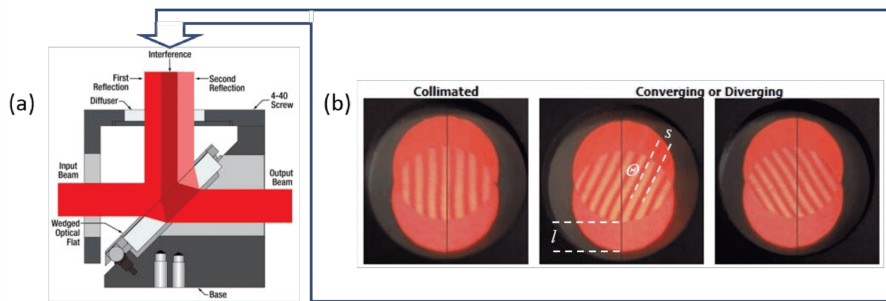
$$I(x) = I_{\text{Interferenz}}(x) \cdot I_{\text{Beugung}}(x).$$

## 2.2 Shearing-Interferometer / Wellenfront-Analyse

Das Erscheinungsbild von optischen Interferenzmustern ist sowohl durch die Natur der Lichtwelle als auch der optischen Grenzflächen bestimmt, man denke an die farbigen Interferenzen auf Seifenblasen. Entsprechend ist es möglich, aus der Beobachtung von Interferenzen an Grenzflächen bekannter Geometrie auf die Eigenschaften der Lichtwelle zu schließen. Beim Shearing-Interferometer handelt es sich um ein simples Interferometer, mit dem bestimmt werden kann, ob ein Lichtstrahl kollimiert, konvergent oder divergent ist. Dazu trifft das Licht unter  $45^\circ$  auf eine Glasplatte (in Seitenansicht, siehe Abbildung 2.1a), welche keilförmig ausgeführt ist. Durch die Reflexion an der vorderen und hinteren Fläche der Glasplatte entstehen zwei reflektierte Strahlen (Abbildung 2.1a), in deren Überlappungsbereich Interferenz auftritt (Abbildung 2.1b). Durch die keilförmige Geometrie führt dies für einen kollinierten Strahl zu einem zur Einfallsebene des Lichts parallelen Streifenmuster (Abbildung 2.1b). Ein konvergierender bzw. divergierender Strahl führt dagegen nach Abbildung 2.1b zu einem gedrehten Streifenmuster. Aus dem lateralen Versatz der beiden reflektierten Strahlen  $l$ , dem Streifenabstand  $s$  und dem (auf die Senkrechte bezogenen) Winkel der Interferenzstreifen  $\Theta$  (siehe Abbildung 2.1b) lässt sich der Radius  $r$  der Wellenfront mit

$$r = \frac{ls}{\lambda \cdot \sin(\Theta)}$$

berechnen.



**Abbildung 2.1:** Shearing-Interferometer. (a) Schematischer Aufbau in Seitenansicht, (b) beobachtete Interferenzmuster (in Aufsicht) für kollimierte, konvergierende und divergierende Wellenfronten, im mittleren Bild sind die im Text besprochenen Bestimmungsgrößen eingezeichnet. © Thorlabs, Quelle: [1]

### 2.3 Polarisation

Für den Fall linearer Polarisation gilt für die transmittierte Intensität durch einen Polarisator mit der Durchlassrichtung entlang der durch den Winkel Null definierten Richtung das Gesetz von Malus.

$$I(\alpha) = I_0 \cos^2(\alpha) \quad (4)$$

Die nicht transmittierte Intensität wird je nach Art des Polarisators absorbiert oder reflektiert. Die Polarisation ist entscheidend für die Interferenzfähigkeit von Licht, es gelten die vier Gesetze nach Fresnel und Arago.

- In dieselbe Richtung linear polarisierte Lichtstrahlen interferieren (wie nicht polarisiertes Licht).
- Zueinander senkrecht linear polarisierte Lichtstrahlen interferieren nicht (mit den nachfolgend aufgelisteten zwei Einschränkungen).
- Zueinander senkrecht linear polarisierte Lichtstrahlen interferieren, wenn sie ursprünglich dieselbe Polarisationsebene besaßen und wieder in diese zurückgeführt werden.
- Zueinander senkrecht linear polarisierte Lichtstrahlen interferieren nicht, wenn sie in dieselbe Polarisationsebene zurückgeführt werden, diese aber nicht ursprünglich besaßen.

## 2.4 Michelson-Interferometer

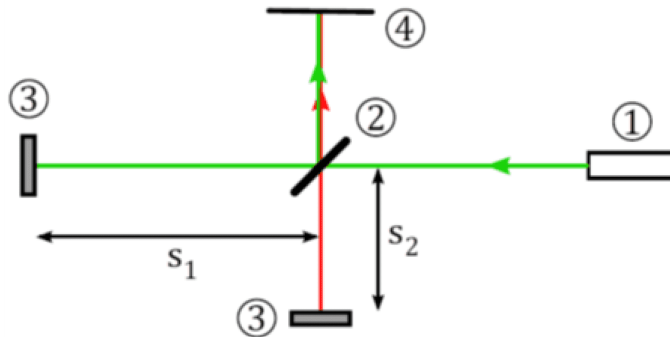
Der prinzipielle Strahlengang eines Michelson-Interferometers ist in Abbildung 2.2 dargestellt. Ein Lichtstrahl aus einer (Laser-)Quelle (1) wird an einem Strahlteiler (2) aufgeteilt. Der Strahlteiler ist ein dünnes Glasplättchen mit einer teilreflektierenden Schicht auf einer Fläche. Die beiden resultierenden Lichtstrahlen werden an zwei Spiegeln reflektiert und am Strahlteiler wieder vereint. Die Lichtstrahlen im Detektorarm treffen auf den Schirm (4), wo sie sich in Abhängigkeit vom Unterschied der Weglängen  $s_1$  und  $s_2$  überlagern. Für ebene Wellen der Form

$$E(x,t) = E_0 e^{\omega t - kx} \quad (5)$$

ist die Lichtintensität am Beobachtungsschirm gegeben durch

$$I = \frac{1}{4} c \cdot \varepsilon_0 \cdot E_0^2 \cdot (1 + \cos(\Delta\varphi)) \quad (6)$$

wobei  $\Delta\varphi$  die Phasendifferenz bezeichnet, die mit dem Unterschied der Weglängen  $\Delta s = |s_1 - s_2|$  nach  $\Delta\varphi = (2\pi/\lambda)\Delta s$  zusammenhängt.

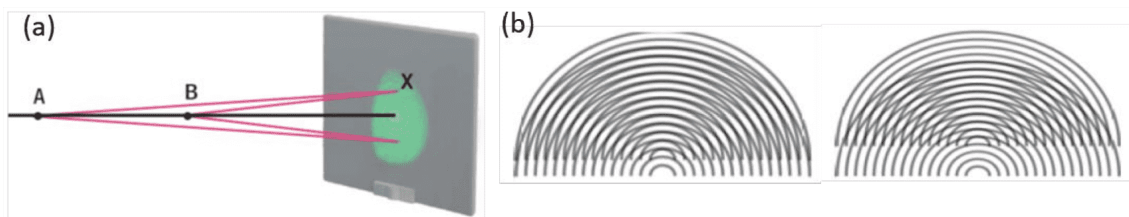


**Abbildung 2.2:** Michelson-Interferometer. Strahlengang im Michelson-Interferometer. Ein Laserstrahl aus der Quelle (1) wird am Strahlteiler (2) aufgeteilt, die beiden Teilstrahlen durchlaufen die beiden Interferometerarme der Länge  $s_1$  und  $s_2$ . Nach ihrer Reflexion an den Spiegeln (3,4) werden die Teilstrahlen am Strahlteiler wieder überlagert und interferieren am Beobachtungsschirm (4). © Thorlabs, Quelle: [1]

Es stellt sich die Frage, wo bei destruktiver Interferenz im Detektorarm die Energie der Lichtwellen bleibt. Tatsächlich hat das Interferometer ja zwei „Ausgänge“, wobei einer eben zum Beobachtungsschirm, der zweite zurück zum Laser führt. Tatsächlich beobachtet man in zweiterem konstruktive Interferenz, wenn am Schirm destruktive Interferenz (also keine Lichtintensität) zu beobachten ist.

Das am Schirm beobachtete Interferenzmuster reagiert empfindlich auf kleine Änderungen in der Richtung des einfallenden Laserstrahls und in der Ausrichtung der Spiegel. Gleichzeitig sind diese Änderungen durch den nur wenige mm durchmessenden Strahl schwer zu beobachten. Deshalb wird der Strahl durch eine Linse aufgeweitet, was zwischen Laser und Strahlteiler oder zwischen Strahlteiler und Schirm geschehen kann. Ersteres führt zu einem

konzentrischen Interferenzmuster, zweiteres zu parallelen Interferenzstreifen. Wie in Abbildung 2.3a skizziert, können divergierende Strahlen auf (bei Vorliegen eines Weglängenunterschieds  $\Delta s$  zwischen den beiden Interferometerarmen) auf zwei virtuelle Lichtquellen A und B zurückgeführt werden, wodurch sich das Auftreten eines konzentrischen Interferenzmusters erklärt. Gleichzeitig kann dieses genutzt werden, um die Interferometerarme auf die gleiche Länge einzustellen (im Prinzip auf einen Bruchteil der Wellenlänge), da sich dabei nach Abbildung 2.3b die Größe des zentralen Interferenzspots maximiert. Alternativ könnte dazu eine breitbandige Lichtquelle mit geringer Kohärenzlänge verwendet werden, wobei die Kohärenzlänge durch die Verwendung von Bandpassfiltern erhöht werden kann.



**Abbildung 2.3:** Zum kreisförmigen Interferenzmuster beim Michelson-Interferometer.  
(a) Skizze zur Erklärung seiner Entstehung, (b) Skizze zur Erklärung der Größe des zentralen Maximums (oder Minimums). © Thorlabs, Quelle: [1]

## 2.5 Unsicherheitsanalyse

Die Fehlerfortpflanzung der berechneten Werte basiert auf der Größtunsicherheitsmethode nach Gauß. Um diese Berechnungen zeiteffizient durchführen zu können, wird für jeden Unterpunkt der Laborübung ein Skript in **Python** implementiert. Kernstück dessen ist das package **uncertainties** [2], das intern die Fehlerfortpflanzung berechnet. Gerundet wird nach den Angaben des Skriptums der Lehrveranstaltung „Einführung in die physikalischen Messmethoden“ [3].

### 3 Geräteliste

Für den praktischen Aufbau und die Messungen der geforderten Größen wurden die in Tabelle 3.1 aufgelisteten Geräte und Hilfsmittel verwendet.

**Tabelle 3.1:** Verwendete Geräte und wichtige Materialien

Gerät	Hersteller	Modell	Messbereich / Unsicherheit	Inventar-Nr.
Laser	Thorlabs	CPS532	$\lambda = 532 \text{ nm}$	22442-S01
diverse Spiegel	Thorlabs	KM100	-	-
Graufilter	Thorlabs	NX1N/M	-	-
Doppelspalte	Phywe	0852300	-	-
Gitter	Phywe	0852400	-	-
Optischer Tisch	-	-	-	-
diverse Halterungen	Thorlabs	-	-	-
Sammellinse	Thorlabs	FMP1/M	$f = 40 \text{ mm}$	-
Zerstreuungslinse	Thorlabs	FMP1/M	$f = -16 \text{ mm}$	-
Shearing-Interferometer	Thorlabs	nicht vorhanden	-	-
Lichtintensitätsmesser	Sauter	SO 200k	$\Delta I = (\pm 3\% \text{rdg} \pm 0,5\% \text{fs}) \cdot I$	51152203
Polarisationsfolie	Nitto denko	-	-	-
Maßband	Schuller Eh klar	Power Tape 3 m	Klasse II	-
Michelson Interferometer	-	-	-	-
Rohr	-	-	-	-
diverse Abbildungsschirme	Wand, Papier, Tür, etc.	-	-	-
Mobiltelefon	OnePlus	8 Pro	-	-

Die verwendeten Doppelspalte haben die Abmessungen wie in Tabelle 3.2 vermerkt.

**Tabelle 3.2:** Verwendete Doppelspalte mit der jeweiligen Nummer  $i$ , der Spaltbreite  $D$  in mm und dem Spaltabstand  $d$  in mm. Quelle: [1]

$i / 1$	$D / \text{mm}$	$d / \text{mm}$
1	0,2	0,25
2	0,1	0,25
3	0,1	0,50
4	0,1	1,00

**Anmerkung zu den Unsicherheiten:** Zur Unsicherheitsangabe werden die jeweiligen Unsicherheitsmaße der Geräte, welche aus den Datenblättern (sofern vorhanden) entnommen werden, verwendet. Für die analogen Messgeräte wird eine kombinierte Ablese- und Messunsicherheit von  $\pm 1$  Skalenstrich verwendet.

Alle Teilversuche wurden bei einer Umgebungstemperatur von  $(24 \pm 1)^\circ\text{C}$  einem Luftdruck von  $(1000 \pm 10) \text{ hPa}$  und einer relativen Luftfeuchtigkeit von  $(33 \pm 1)\%$  durchgeführt.

## 4 Versuchsaufbau

### 4.1 Young'scher Doppelspalt

Für den Aufbau zum Versuch *Young'scher Doppelspalt* wird der Laser mittels zwei Spiegel auf das Plättchen mit den vier verschiedenen (siehe Tabelle 3.2) Doppelspalten gelenkt. Der Abstand vom Doppelspalt wird mit  $(2520 \pm 5) \text{ mm}$  bestimmt – wobei hier noch zur vom Maßband gegebenen Unsicherheit von 1,1 mm eine weitere Unsicherheit durch das Messen in der Luft hinzukommt. Der Aufbau in Abbildung 4.1 zeigt den optischen Tisch, der Schirm ist rechts im oben angeführten Abstand an der Wand befestigt.



Abbildung 4.1: Aufbau Young'scher Doppelspalt

## 4.2 Shearing-Interferometer

Der Aufbau des Shearing-Interferometers ist in Abbildung 4.2 gegeben. Dabei wird der untere Spiegel aus dem vorhergehenden Versuch wiederverwendet und der Laserstrahl auf die Frontalebene gelenkt, welche um  $45^\circ$  zur Tischemebene geneigt ist.



Abbildung 4.2: Aufbau Shearing Interferometer. Quelle: [1]

**Anmerkung zum Versuch:** Da sich das Shearing Interferometer leider zum Zeitpunkt der Übung in Reparatur befand, wird der Versuch im folgenden hypothetisch abgehandelt.

### 4.3 Polarisation

Anstelle des Shearing Interferometers werden jetzt zwei Polarisationsfilter in den Pfad des Lasers eingebbracht. Nach dem zweitem Filter trifft der Laser auf einen Lichtintensitätsmesser, welcher wie in Abbildung 4.3 ersichtlich, durch ein Rohr von sonstigen Lichteinflüssen abgeschirmt wird.



Abbildung 4.3: Aufbau Polarisation

### 4.4 Michelson-Interferometer

Nun wird auch der letzte verbleibende Spiegel aus dem Strahlengang des Lasers gegeben und der Laserstrahl trifft so direkt auf das in Abbildung 4.4 rechts gezeigte Michelson-Interferometer. Wie gut in der Abbildung ersichtlich ist, wird der Strahl im Michelson-Interferometer in die beiden Arme aufgeteilt. Nach letztlicher Zusammenführung der beiden Strahlen trifft der resultierende Strahl auf den Schirm. Zur Untersuchung verschiedener Effekte wird je eine Sammel- bzw. Zerstreuungslinse in den Strahlengang zwischen Laser und Michelson-Interferometer eingebbracht.



**Abbildung 4.4:** Aufbau Michelson-Interferometer

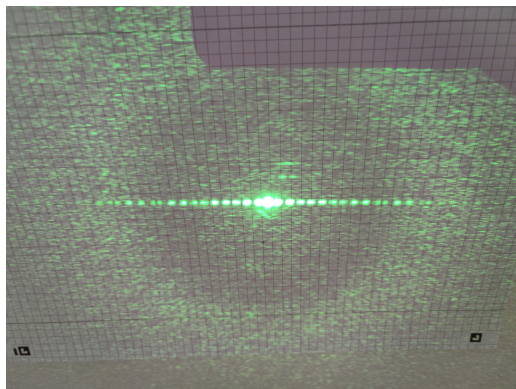
## 5 Versuchsdurchführung

Vor jedem Teilversuch wird nochmals überprüft, ob sich der gewünschte optische Weg ergibt und der Laser nicht unkontrolliert oder ungewollt in nicht beabsichtigte Richtungen abgelenkt wird. Weiters wird stets darauf geachtet, dass man nicht mit reflektierenden Gegenständen (z.B. Ring, Schraubenzieher) im Strahlengang hantiert.

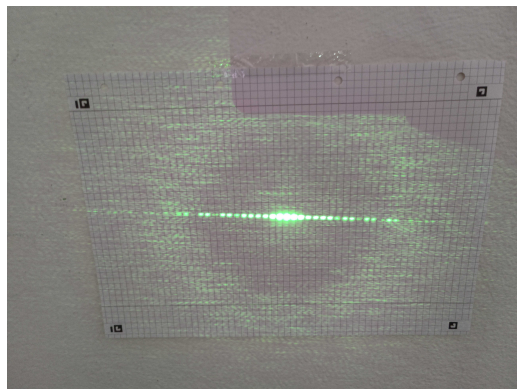
### 5.1 Young'scher Doppelspalt

Der Versuch wird gemäß der Beschreibung in Unterabschnitt 4.1 aufgebaut und die in Tabelle 3.2 angeführten Doppelspalte werden der Reihe nach vom Laser durchstrahlt. Der  $l_{\text{Schirm}} = (2520 \pm 5) \text{ mm}$  entfernte Schirm – ein karriertes A4-Blatt an der Wand – wird nun vom sich ergebenden Interferenzmuster beleuchtet.

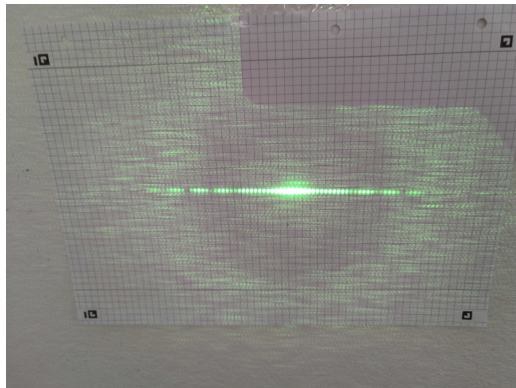
Es ergeben sich für die vier Doppelspalte folgende Interferenzbilder in den Abbildungen 5.1 bis 5.3.



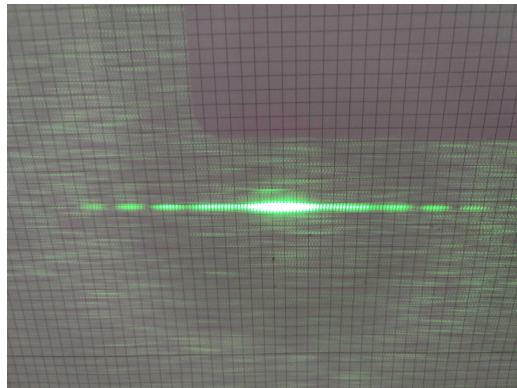
**Abbildung 5.1:** Interferenzmuster des Doppelspalts  $i = 1$



**Abbildung 5.3:** Interferenzmuster des Doppelspalts  $i = 2$



**Abbildung 5.2:** Interferenzmuster des Doppelspalts  $i = 3$



**Abbildung 5.4:** Interferenzmuster des Doppelspalts  $i = 4$

Neben der fotografischen Dokumentation werden auch die Abstände der Maxima mittels Lineal vermessen. Die Messungen ergeben die in Tabelle 5.1 angeführten Werte.

**Tabelle 5.1:** Messwerte der Doppelspalten. Unsicherheit der Messung:  $\Delta l_i = 0,5 \text{ mm}$ 

$i$	$l_1 / \text{mm}$	$l_2 / \text{mm}$	$l_3 / \text{mm}$	$l_4 / \text{mm}$
0	0,0	0,0	0,0	0,0
1	5,0	5,0	2,5	1,5
2	11,0	11,0	8,0	2,5
3	16,0	16,0	10,5	4,0
4	21,0	22,0	13,0	5,5
5	27,0	27,0	16,0	6,5
6	33,0	32,0	18,5	8,0
7	38,0	38,0	21,0	9,5
8	43,0	43,0	24,0	10,5
9	49,0	48,0	26,5	12,0
10	55,0	54,0	29,0	13,5
11	58,0	-	-	15,0

Die eben beschriebene Messung wird nun in analoger Weise nochmals mit dem Gitter durchgeführt. Die Messungen ergeben die in Tabelle 5.2 angeführten Werte. Dabei bleibt der Abstand zum Schirm  $l_{\text{Schirm}} = (2520 \pm 5) \text{ mm}$  konstant.

**Tabelle 5.2:** Messwerte des Gitters. Unsicherheit der Messung:  $\Delta l_i = 0,5 \text{ mm}$ 

$i / 1$	$l_1 / \text{mm}$
0	0,0
1	11,0
2	21,5
3	32,5
4	43,0
5	53,5
6	64,5
7	75,0
8	86,0
9	97,0
10	108,0
11	118,0
12	128,0
13	139,0
14	151,0

## 5.2 Shearing-Interferometer

Nachdem der Versuchsaufbau ordnungsgemäß hergestellt ist, wird der Laser eingeschaltet. Am optischen Ausgang am oberen Ende des Shearing-Interferometers erscheint dadurch ein streifenförmiges Interferenzmuster. Aus diesem Interferenzmuster werden der Versatz in laterale Richtung  $l$ , der Abstand der Interferenzstreifen  $d$  und der Winkelversatz zur einfallenden Ebene  $\theta$  vermessen. Vermessen wurde direkt am optischen Ausgang mit einem handelsüblichen durchsichtigen Geodreieck. Für die Längenmessung wird eine Ableseunsicherheit von 0,5 mm angenommen, die Winkelmessung wird mit einer Ungenauigkeit von  $3^\circ$  abgeschätzt. Aufgrund der hohen Messungenauigkeit dieser Methodik wird die Messung zwei weitere Male wiederholt, um so zumindest eine geringfügige statistische Aussage treffen zu können. Die Messergebnisse werden notiert und tabelliert.

**Tabelle 5.3:** Gemessene Größen beim Versuchsaufbau *Shearing-Interferometer* mit  $i$  dem Laufindex der einzelnen Messungen,  $l$  dem Versatz in laterale Richtung,  $d$  dem Abstand der Interferenzstreifen  $\theta$  und dem Winkelversatz zur einfallenden Ebene. Unsicherheiten:  $\Delta l = \Delta s = 0,5 \text{ mm}$ ,  $\Delta \theta = 3^\circ$

$i / 1$	$l / \text{mm}$	$d / \text{mm}$	$\theta / {}^\circ$
1	$8,0 \pm 0,5$	$4,0 \pm 0,5$	$-19 \pm 3$
2	$8,5 \pm 0,5$	$3,5 \pm 0,5$	$-17 \pm 3$
3	$8,0 \pm 0,5$	$4,5 \pm 0,5$	$-20 \pm 3$

### 5.3 Polarisation

Der Strahl wird für den ersten Unterpunkt dieses Versuchs durch zwei Polarisationsfilter geführt. Für den ersten der beiden Filter wurde  $70^\circ$  als Ausgangswinkel gewählt, der zweite wird im folgenden Versuch einmal um  $360^\circ$  gedreht, wobei die Ausgangsstellung hier so gewählt wird, dass zuerst die höchste Lichtintensität am Messgerät abgelesen werden kann. So stehen die Polarisationsfilter gleich, dies ist bei  $330^\circ$  des zweiten Filters der Fall. Die Messung wurde zweimal durchgeführt und die gemessenen Werte des Lichtintensitätsmessers sind in Tabelle 5.4 angeführt.

**Tabelle 5.4:** Messwerte nach Durchgang durch zwei Polarisationsfilter.  
Winkel des ersten Filters:  $70^\circ$ ,  
Winkel des zweiten Filters  $\alpha$  mit  
 $\Delta\alpha = 3^\circ$ , Intensität  $I$

$\alpha$	$I_1 / \text{lx}$	$I_2 / \text{lx}$	$\Delta I_1 / \text{lx}$	$\Delta I_2 / \text{lx}$
330	1020	50	1070	50
340	990	50	1050	50
350	910	40	960	40
0	780	40	820	40
10	610	30	640	30
20	440	30	450	30
30	270	20	280	20
40	130	20	140	20
50	30	20	30	20
60	0	10	0	10
70	20	20	20	20

Fortsetzung auf nächster Seite

**Tabelle 5.4:** Messwerte nach Durchgang durch zwei Polarisationsfilter.  
 Winkel des ersten Filters:  $70^\circ$ ,  
 Winkel des zweiten Filters  $\alpha$  mit  $\Delta\alpha = 3^\circ$ , Intensität  $I$  (Fortsetzung)

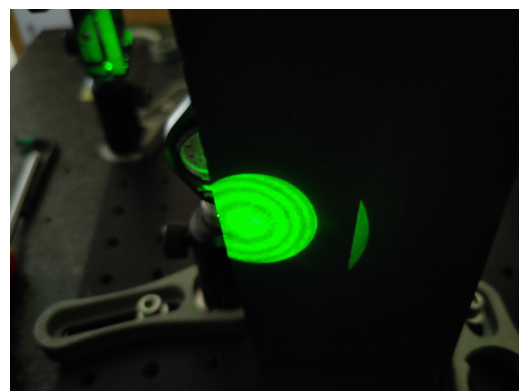
80	100	20	110	20
90	230	20	250	20
100	390	30	410	30
110	570	30	600	30
120	750	40	790	40
130	890	40	940	40
140	1000	50	1040	50
150	1040	50	1090	50
160	1020	50	1070	50
170	950	40	990	50
180	810	40	840	40
190	650	40	670	40
200	470	30	490	30
210	280	20	300	20
220	150	20	150	20
230	30	20	40	20
240	0	10	0	10
250	20	20	20	20
260	110	20	120	20
270	250	20	260	20
280	420	30	440	30
290	600	30	630	30
300	740	40	810	40
310	920	40	970	40
320	1020	50	1070	50
330	1060	50	1100	50

## 5.4 Michelson-Interferometer

Das Michelson-Interferometer wird wie in Abbildung 4.4 beschrieben in den Strahlengang eingebracht. Nun werden die beiden Spiegel des Michelson-Interferometers so justiert, dass die beiden Strahlen, die durch die beiden Arme des Interferometers laufen, überlagert am Schirm auftreffen. Nun wird eine Sammellinse vor dem Interferometer eingebracht, dies führt zur Ausbildung von Interferenzmustern, welche in konzentrischer Anordnung abwechselnd Maxima und Minima am Schirm, aber auch am Laser aufweisen. Beispielhaft finden sich in Abbildung 5.5 und Abbildung 5.6 die Interferenzmuster am Schirm und neben dem Laser.



**Abbildung 5.5:** Interferenzmuster des Lasers nach Durchgang durchs Michelsoninterferometer am Schirm

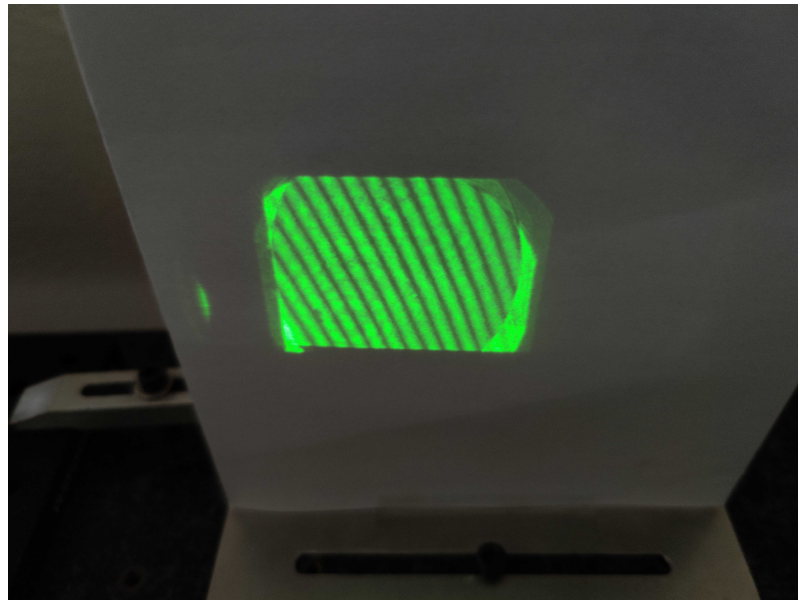


**Abbildung 5.6:** Interferenzmuster des Lasers nach Durchgang durchs Michelsoninterferometer neben dem Laser

Zur Bestimmung der Wellenlänge des Lasers wird nun mittels Mikrometerschraube ein Spiegel im Michelson-Interferometer verschoben. Dies führt nun dazu, dass sich das Interferenzmuster am Schirm ändert, da der Gangunterschied zwischen den beiden Teilstrahlen geändert wird. Die Wellenlänge des Lasers kann nun durch die Verschiebung des Spiegels bestimmt werden, indem man die Anzahl der Maxima/Minima beim verschieben um eine gewisse Distanz misst. Konkret wurde so lange an der Mikrometerschraube gedreht, bis am Schirm  $n = 100 \pm 1$  neue Maxima/Minima zu sehen waren. Dabei verschiebt sich der Spiegel um eine Distanz von  $d_{\text{Spiegel-S}} = (26,4 \pm 1,0) \mu\text{m}$ , wobei hier schon die Übersetzung der Mikrometerschraube zur tatsächlichen Spiegelbewegung (Faktor 5,3) berücksichtigt wurde. Die Unsicherheit der Mikrometerschraube beläuft sich hier auf  $5 \mu\text{m}$  (nicht unterstellt!). Die Unsicherheit am Start und am Ende der Messung – um eben möglichst die gleiche Intensität zu erreichen – wird auf etwa  $0,3 \mu\text{m}$  geschätzt.

Nun wird statt der Sammellinse eine Zerstreuungslinse eingesetzt und die Interferenzmuster erneut beobachtet. Es ergeben sich nun mit der Zerstreuungslinse keine konzentrischen Kreise im Interferenzbild, sondern Linien-Interferenzmuster, wie auch in Abbildung 5.7 dargestellt. Analog zum Versuch mit der eingesetzten Sammellinse werden nun auch 100 Wechsel zwischen Maxima und Minima gezählt. Es ergibt sich für eine Distanz

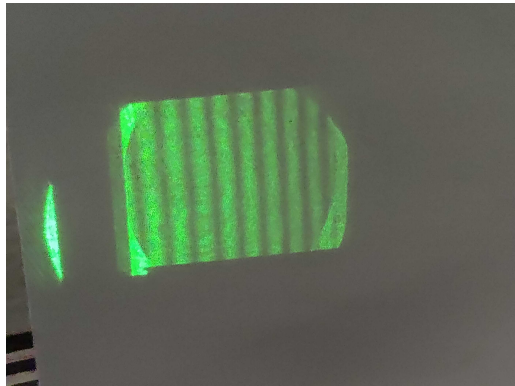
von  $d_{\text{Spiegel-Z}} = (26,6 \pm 1,0) \mu\text{m}$  für die  $n = 100 \pm 1$  Wechsel zwischen Maxima und Minima. Die Unsicherheit dieser Messung wird ebenso analog zum vorherigen Versuch mit der konzentrischen Linse angenommen.



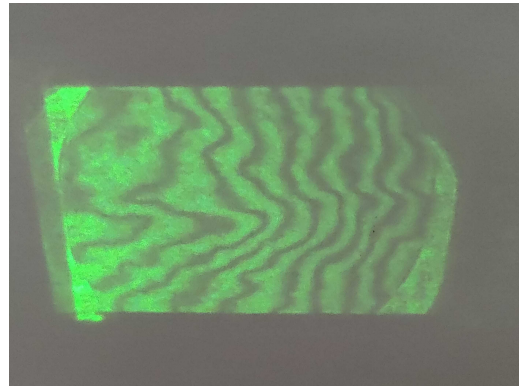
**Abbildung 5.7:** Interferenzmuster des Lasers nach Durchgang durchs Michelsoninterferometer mit Zerstreuungslinse

Nun werden noch externe Änderungen, wie etwa die Auswirkungen der Stellschrauben untersucht. Dabei verstellt eine Schraube die Dichte – sprich die Anzahl an sichtbaren Maxima/Minima – und die andere die Ausrichtung, es erfolgt quasi eine Drehung der Maxima/Minima um die Flächennormale. Die Auswirkungen von Wärmeeinflüssen ist im [Video](#) zu sehen.

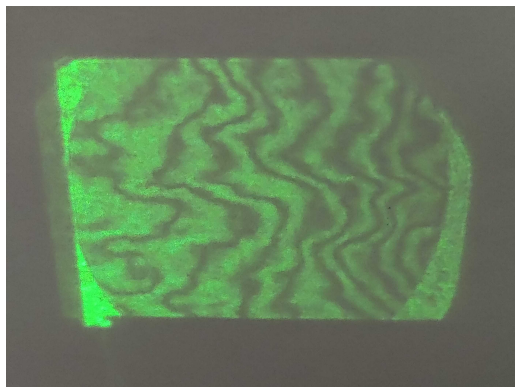
Zudem wird noch untersucht, wie sich Polarisationsfilter im Strahlengang des Michelsoninterferometers auf das Interferenzbild auswirken. Dazu wird zuerst, wie in Abbildung 5.8 ersichtlich, nur ein Filter ( $45^\circ$  zur Senkrechten gedreht) vor dem Interferometer platziert. Anschließend wird ein Filter in horizontaler Anordnung in einem der beiden Arme platziert, wie in Abbildung 5.9 dargestellt. In Abbildung 5.10 ist ein Filter in horizontaler Anordnung in beiden Armen zu sehen und in Abbildung 5.11 ein Filter in vertikaler und einer in horizontaler Anordnung pro Arm.



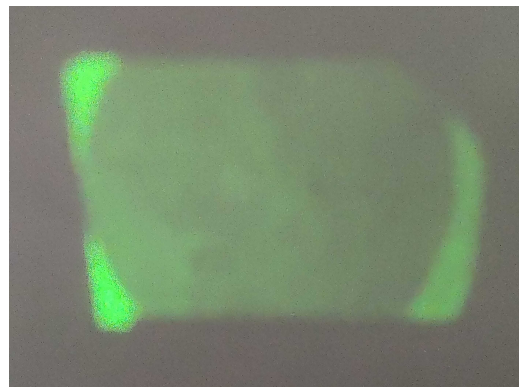
**Abbildung 5.8:** Interferenzmuster mit einem Polarisator vor dem Interferometer



**Abbildung 5.9:** Interferenzmuster mit einem Polarisator in horizontaler Anordnung in einem Arm



**Abbildung 5.10:** Interferenzmuster mit jeweils einem Polarisator in horizontaler Anordnung pro Arm



**Abbildung 5.11:** Interferenzmuster mit einem Polarisator in horizontaler Anordnung im ersten Arm und einem mit vertikaler im zweiten Arm

## 6 Auswertung

### 6.1 Young'scher Doppelspalt

### 6.2 Shearing-Interferometer

### 6.3 Polarisation

### 6.4 Michelson-Interferometer

## 7 Diskussion

## 8 Zusammenfassung

## Literaturverzeichnis

- [1] J. Krenn. „Interferenz und Polarisation“. In: 2022.
- [2] E. O. Lebigot. Uncertainties: a Python package for calculations with uncertainties. Website. o. D. URL: <https://pythonhosted.org/uncertainties/>.
- [3] R. Dämon u. a. „Einführung in die physikalischen Messmethoden“. In: Bd. 7. 2021.

## Abbildungsverzeichnis

2.1 Shearing-Interferometer . . . . .	5
2.2 Michelson-Interferometer . . . . .	6
2.3 Interferenzmuster Michelson-Interferometer . . . . .	7
4.1 Aufbau Young'scher Doppelspalt . . . . .	10
4.2 Aufbau Shearing Interferometer . . . . .	10
4.3 Aufbau Polarisation . . . . .	11
4.4 Aufbau Michelson-Interferometer . . . . .	12
5.1 Interferenzmuster des Doppelspalts $i = 1$ . . . . .	13
5.2 Interferenzmuster des Doppelspalts $i = 3$ . . . . .	13
5.3 Interferenzmuster des Doppelspalts $i = 2$ . . . . .	13
5.4 Interferenzmuster des Doppelspalts $i = 4$ . . . . .	13
5.5 Interferenzmuster des Lasers nach Durchgang durchs Michelsoninterferometer am Schirm . . . . .	18
5.6 Interferenzmuster des Lasers nach Durchgang durchs Michelsoninterferometer neben dem Laser . . . . .	18
5.7 Interferenzmuster des Lasers nach Durchgang durchs Michelsoninterferometer mit Zerstreuungslinse . . . . .	19
5.8 Interferenzmuster mit einem Polarisator vor dem Interferometer . . . . .	20
5.9 Interferenzmuster mit einem Polarisator in horizontaler Anordnung in einem Arm . . . . .	20
5.10 Interferenzmuster mit jeweils einem Polarisator in horizontaler Anordnung pro Arm . . . . .	20
5.11 Interferenzmuster mit einem Polarisator in horizontaler Anordnung im ersten Arm und einem mit vertikaler im zweiten Arm . . . . .	20

## Tabellenverzeichnis

3.1 Geräteliste . . . . .	8
3.2 Doppelspaltmaße . . . . .	9
5.1 Messwerte Doppelspalten . . . . .	14
5.2 Messwerte Gitter . . . . .	15
5.3 Messung Shearing . . . . .	16

- 5.4 Messwerte nach Durchgang durch zwei Polarisationsfilter. Winkel des ersten Filters:  $70^\circ$ , Winkel des zweiten Filters  $\alpha$  mit  $\Delta\alpha = 3^\circ$ , Intensität  $I \dots \dots \dots$  16